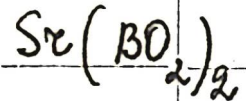


Si-B-O

1961



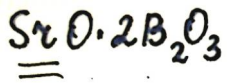
Pza - Заге Т.Т. и гп.

Агент. Акад. Чупре,
1961 (5), 113.

T_{tr}

T_m

[cell. $\text{Mg}(\text{BO}_2)_2$] T



Stewart T. R.,
Rindone G. Z.

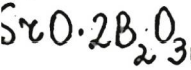
1963

J. Amer. Ceram. Soc., 1963, 46,
N12, 593-96.

Высокотемпературные энергетические соединения в боратах. Числительные и связующие бораты  и их спекла.

(см. $\text{LaO} \cdot 2\text{B}_2\text{O}_3$)

1964



16 Б248. Кристаллическая структура дибората стронция $\text{SrO} \cdot 2\text{B}_2\text{O}_3$. Krogdahl Moe J. The crystal structure of strontium diborate, $\text{SrO} \cdot 2\text{B}_2\text{O}_3$. «Acta chem. scand.», 1964, 18, № 9, 2055—2060 (англ.)

Проведено рентгенографич. исследование (методы порошка и Вейссенберга, $\lambda\text{Cu}-\text{K}_{\alpha}$) соединения $\text{SrO} \cdot 2\text{B}_2\text{O}_3$. Параметры ромбич. решетки: $a = 10,711 \text{ \AA}$, $b = 4,427$, $c = 4,235 \text{ \AA}$ — определены по порошкограмме с внутренним стандартом $\text{Pb}(\text{NO}_3)_2$ ρ (эксп.) 3,9 ρ (выч.) 4,02 $Z=2$, ф. гр. $Pm\bar{n}2_1$. Структура определена с помощью двумерных синтезов Паттерсона и трехмерных синтезов Фурье; уточнение координат атомов проведено методом наименьших квадратов: $R=0,126$. Установлено, что основу структуры составляет трехмерный каркас из BO_4 -тетраэдров ($\text{B}-\text{O} 1,49 \text{ \AA}$); атом Sr находится в 9-вершиннике неправильной формы ($\text{Sr}-\text{O} 2,47—3,39 \text{ \AA}$). Отмечается, что некоторые атомы O в структуре связаны с 3 атомами B.

С. Рыкова

X·1965·16

Sr[B(OH)₄]₂ 24 Б259. Структура триклинической модификации монобората стронция Sr[B(OH)₄]₂. Озол Я. К., Иевиньш А. Ф. «LatvPSR Zinātņu Akad. vēstis. Ķīmijas sēg.», Изв. АН ЛатвССР. Сер. хим.», 1964, № 2, 137—143 (рез. англ.)

1964

Проведено рентгенографическое исследование (методы вращения, Вейссенберга, λCu) монобората стронция Sr[B(OH)₄]₂ (**I**), полученного ранее описанным методом (РЖХим, 1960, № 18, 72322). Параметры триклин. решетки: a 8,35, b 5,88, c 7,86 Å, α 108,28°, β 80,00°, γ 65,85°, ρ (изм.) 2,55, ρ (выч.) 2,60, $Z=2$, ф. гр. $P\bar{1}$. Структура решена с помощью двумерного синтеза Патерсона $P(uv)$ и $P(uw)$ и уточнена по проекциям электронной плотности $\rho(xy)$, $\rho(xz)$ и $\rho(yz)$ до $R(hk0)=0,18$ и $R(h0l)=0,17$ с учетом всех отражений и средних изотропных температурных факторов. Основу структуры **I** составляют изолированные тетраэдры B(OH)₄, аналогичные тетраэдрам в структуре Ca[B(OH)₄]₂ · 2H₂O (**II**) (РЖХим, 1964, 9Б258). Средние межатомные расстояния B—O 1,50 и O—O 2,44 Å в **I** несколько больше соответствующих расстояний 1,48 и 2,42 Å во **II**. Атомы Sr координированы 8 атомами O со средним расстоянием Sr—O 2,59 Å. В **I** тетраэдры связаны водородными связями с атомом Sr.

Н. Баталиева

24.1964.24

ВР - 1124-IX

1964

SrB_2O_4

№ 2 Б566. Об образовании безводного бората. Дополнение к диаграмме состояния $\text{SrO}-\text{B}_2\text{O}_3$. Witzmann H., Beulich W. Zur Bildung wasserfreier Strontiumborate. Ein Beitrag zum Zustandsdiagramm des Systems $\text{SrO}-\text{B}_2\text{O}_3$. «Z. phys. Chem.» (DDR), 1964, 225, № 5—6, 336—341 (нем.)

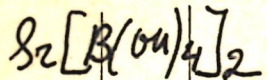
Методами ДТА (навеска 80—100 мг, скорость нагрева 10 град/мин) и рентгеновским (порошка) изучены соединения, формирующиеся из смесей $\text{SrO}/\text{B}_2\text{O}_3$ 1:4, 1:2, 1:1, 2:1, 3:1. Ход кривых ДТА показал 3 группы экзотермич. эффектов, отнесенных к образованию SrB_4O_7 (I), SrB_2O_4 (II), SrB_2O_5 (III) и эвтектик между ними соотв. при 971 и 1062°. Установлено, что экзотермич. пик 710—740° при нагревании смеси 1 моля SrCO_3 и 2 молей H_3BO_3 обусловлен появлением II. Приведен-

Х. 1966. 2

ные исследования по обезвоживанию $\text{SrB}_2\text{O}_4 \cdot 4\text{H}_2\text{O}$ показали, что оно теряет 3 молекулы H_2O между 135 и 220°; полное обезвоживание проходит в широком интервале 220—550°. Рентгенэморфный II при 615—640° образует новую решетку, отличную от II. В области 13—66 мол. % SrO уточнены т-ры пл. соединений в диаграмме состояния $\text{SrO}-\text{B}_2\text{O}_3$. Зафиксированы 3 модификации III, образующиеся по р-циям: расплав \rightleftharpoons (373°) а \rightleftharpoons (361°) $\beta \rightleftharpoons$ (284°) γ . Образование $\text{Sr}_3(\text{BO}_3)_2$ не подтверждено.

Б. Доброцветов

1965



12 Б397. Кристаллическая структура моноклинной модификации $\text{SrB}_2\text{O}_4 \cdot 4\text{H}_2\text{O} = \text{Sr}[\text{B(OH)}_4]_2$. Кравченко В. Б. «Ж. структурн. химии», 1965, 6, № 6, 872—877

Проведено рентгеноструктурное исследование (метод Вейссенберга, λMo) монокл. формы $\text{SrB}_2\text{O}_4 \cdot 4\text{H}_2\text{O}$ (I). Параметры решетки: $a = 9,93$, $b = 16,05$, $c = 8,24$ Å, $\beta = 107^\circ 21'$, $Z = 8$, ф. гр. $P\bar{2}_1/n$. Сопоставление параметров решетки и проекций фракции Патерсона для I $\text{BaB}_2\text{O}_4 \cdot 4\text{H}_2\text{O}$ (II) доказало изоструктурность обоих в-в. За исходные значения взяты координаты атомов в структуре II (РЖХим, 1964, 12Б231). Уточнение координат проведено методом наименьших квадратов с использованием 387 ненулевых

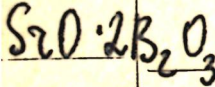
Х. 1966

12

$F(hkl)$ до $R=9,8\%$ (с изотропными т-рными факторами для трех разных сортов атомов). Атомы В находятся в тетраэдрах, вершины к-рых заняты атомами О группы OH. Структурная ф-ла соединения $Sr[B(OH)_4]_2$. Атомы Sr расположены в 9-вершинниках из атомов O (тригон. призма, центрированная по боковым граням). Расстояния B—O 1,36—1,62 Å (ср. 1,47 Å), O—O в тетраэдрах 2,20—2,61 Å (ср. 2,40 Å); расстояния Sr—O 2,52—2,86 Å. Длины предполагаемых водородных связей 2,61—3,08 Å.

Реферат автора

82 - Борат



985

З Б325. Кристаллическая структура дибората стронция. Krogd-Moe Jan. Crystal structure of strontium diborate. «Nature» (Engl.), 1965, 206, № 4984, 613 (англ.)

Проведено рентгенографич. исследование кристаллов $\text{SrO} \cdot 2\text{B}_2\text{O}_3$. Параметры ромбич. решетки: $a = 10,711$, $b = 4,427$, $c = 4,235$ Å, ρ (выч.) 4,02, $Z = 2$. Структура определена по трехмерным синтезам электронной плотности и уточнена методом наименьших квадратов, $R = 0,126$. Установлено, что структура представляет собой трехмерный каркас из BO_4 -тетраэдров (межатомное расстояние $\text{B}-\text{O}$ 1,49 Å), в пустотах к-рого размещаются атомы Sr. Примечательной особенностью структуры является тот факт, что один из входящих в нее атомов О связан с 3 атомами B.

С. Рыкова

Изучал.
Структура

2.1966.3

SrO₂B₂O₃

1965

23 Б288. К структуре безводного бората стронция.
Witzmann H., Beulich W. Beitrag zur Struktur
wasserfreier Strontiumborate. «Naturwissenschaften»,
1965, 52, № 7, 157—158 (нем.)

Проведено рентгенографич. исследование (методы по-
рошка и вращения; λ Си-Ка) безводн. бората стронция
SrO₂B₂O₃; параметры ромбич. решетки: a 4,20, b 4,39,
 c 10,57 Å, ρ (эксп.) 3,78, ρ (выч.) 4,14, $Z=2$. С. Рыкова

Х. 1965. 23

1967

Sr- бераты

2 Б678. Фазовые границы в части системы $\text{SrO}-\text{B}_2\text{O}_3$. Chenot C. F. Phase boundaries in a portion of the system $\text{SrO}-\text{B}_2\text{O}_3$. «J. Amer. Ceram. Soc.», 1967, 50, № 2, 117—118 (англ.)

Методами закалки, ДТА и рентгенографич. анализа исследована часть системы $\text{SrO}-\text{B}_2\text{O}_3$ в области состава $\text{SrO} \cdot 3\text{B}_2\text{O}_3$ (I). Соединение I получено дегидратацией $\text{SrO} \cdot 3\text{B}_2\text{O}_3 \cdot 5\text{H}_2\text{O}$ при 820° . Установлена верхняя граница устойчивости I (890°), выше которой I разлагается с образованием $\text{SrO} \cdot 2\text{B}_2\text{O}_3$. Л. Н. Демьянец

2. 1968. 2

1969

SrB₂O₄

21 Б461. Структура двух фаз SrB₂O₄, высокого давления. Дегнієв Р. Д. Crystal data of two high pressure phases of SrB₂O₄. «Acta crystallogr.», 1969, B 25, № 5, 1001—1003, (англ.)

Рентгенографически обнаружены две фазы высокого давл. метабората стронция: SrB₂O₄ III и SrB₂O₄ IV. Фаза III образуется из SrB₂O₄ I при 600° в интервале 8—15 кбар. Она кристаллизуется в ромбич. решетке: a 12,426; b 6,418; c 11,412 Å; $Z=12$, ф. гр. $Pha2_1$, ρ (выч.) 3,77. Фаза IV получена из I при 600° и 15—40 кбар, кубич. a 9,222, $Z=12$, ф. гр. $Pa3$, ρ (выч.) 4,38. При давл. выше 40 кбар фаза IV разлагается с образованием SrB₄O₇. Отжиг на воздухе при 750° переводит III и IV в исходное состояние. Фазы III и IV изоструктурны CaB₂O₄ III и IV. Фазу SrB₂O₄ IV, изоструктурную ромбич. CaB₂O₄ II, обнаружить не удалось. Для III и IV приведены значения I , d , hkl рентгенограмм порошка.

Б. Г. Алапин

X. 1969. 21

SrO·2B₂O₃

BP - 1637 - K

1970

37224 Enthalpy of fusion of SrO·2B₂O₃. Nagel, Suzanne R.; Eagan, Robert J.; Bergeron, Clifton G. (Dep. of Ceram. Eng., Univ. of Illinois, Urbana, Ill.): *J. Amer. Ceram. Soc.* 1970, 53(4), 227-8 (Eng). The enthalpy of fusion of SrO·2B₂O₃ was detd. by quant. DTA methods and is 19.3 kcal/mole at 25°. ΔS and ΔG for the transition from crystal to glass are 13.0 cal/degree-mole and 15.1 kcal/mole, resp. CJJN

ΔH_m

ΔS_{tr}

ΔG_{tr}

C.A. 1970. 79-26

1990

ВФ-1637-IX

Sr·2B₂O₃

23 Б673. Энталпия плавления SrO·2B₂O₃. N. a. g. e. l.
Suzanne R., Eagan R. J., Bergedorf C. G. Ent-
 halpy of fusion of SrO·2B₂O₃. «J. Amer. Ceram. Soc.»,
 1970, 53, № 4, 227—228 (англ.)

Методом колич. ДТА измерена энталпия плавления крист. SrO·2B₂O₃. Калибровка проводилась по $\Delta H_{\text{пл}}$ KCl и NaF. Для них результаты согласуются с лит. в пред-

лах $\pm 1\%$. Опыты проводились при скоростях нагревания 4,2; 8,3 и 12,5° С/мин с образцами весом в 0,5 г. 6 определений дали ср. величину $\Delta H_{\text{пл}} = 33,4$ ккал/моль. Рассчитаны термодинамич. параметры перехода из крист. состояния в стеклообразное при 25°: $\Delta H = 19,3$; $\Delta G = 15,1$ ккал/моль и $\Delta S = 13$ э. с. П. М. Чукров

 ΔH_m ΔG ΔS

Sr-barium Slough W., et al 1974

ΔH°

ΔS°

T_m

Commenc 326.0

Natl. Phys. Lab. (U.K.),
Div. Chem. Stand., Rep.
1974, 31, 21 pp.

• Cu BaO₃; I

Sr₃B₂O₆

1977

2 Б661. Синтез и магнитные свойства Eu₃B₂O₆ и Sr₃B₂O₆. Hata H., Adachi G., Shiokawa J. Syntheses and magnetic properties of Eu₃B₂O₆ and Sr₃B₂O₆. «Mater. Res. Bull.», 1977, 12, № 8, 811—814 (англ.)

Спеканием при т-ре 1100°С на протяжении 3 час. мех. смеси Eu₂O₃, H₃BO₃ и В, взятых в экспериментально найденном оптим. отношении 1,5 : 1,2 : 0,8, получены поликрист. образцы Eu₃B₂O₆ (I). В результате рентгенографич. исследования установлено, что I кристаллизуется в ромбоэдрич. структуре с параметрами элементарной ячейки $a = 6,697 \text{ \AA}$, $\alpha = 85,17^\circ$, $Z=2$.

(Ttz)

⊕ □

x, 1978-112

$\text{Sr}_3\text{B}_2\text{O}_6$, синтез к-рого аналогичен синтезу I и описан
ранее, также имеет ромбоэдрич. элементарную ячейку
с параметрами $a = 6,695 \text{ \AA}$, $\alpha = 85,00^\circ$. В широком интер-
вале т-р исследована статич. магнитная восприимчи-
вость (МВ) I. Показано, что при $T > 10^\circ \text{ K}$ МВ I хоро-
шо описывается ур-нием Кюри-Вейсса при значении
парамагнитной константы Кюри $\theta = 7,7^\circ \text{ K}$ и величине
эффективного магнитного момента $13,4 \mu_\text{B}$. Поскольку
эта величина несколько меньше теор., сделан вывод о
присутствии в I небольшой примеси Eu^{3+} . При т-ре
 $7,5^\circ \text{ K}$ обнаружен переход I в ферромагнитное состоя-
ние, обусловленный обменными взаимодействиями
между ионами Eu^{2+} . Намагниченность I в поле
 $H = 7440$ эрстед при $T < 4^\circ \text{ K}$ постоянна и соответству-
ет намагниченности насыщения для Eu^{2+} .

Ю. В. Ракитин

1979

SrB₂O₄

9 Б338. Метастабильная модификация SrB₂O₄.
 Yamaguchi Osamu, Kamata Mineaki, Shimizu Kiyoshi. Metastable modification of SrB₂O₄.
 «Chem. Lett.», 1979, № 11, 1341—1344 (англ.)

*Кристал.
соступает.*

Методом рентгеноструктурного анализа показано, что при нагревании аморф. SrB₂O₄ (I), полученного одновременным гидролизом SrO и B₂O₃, до т-ры 670° образуется новая метастабильная крист. модификация I, к-рая при дальнейшем нагревании до т-ры 790° переходит в устойчивую ромбич. модификацию. Структура метастабильной крист. фазы I родственна структуре ZnB₂O₄. В кристалле содержатся цепочки ионов ($-BO_2-$)⁻, кольцевые структуры из трех ионов BO₂⁻, атомы бора с тетраэдрич. координацией и двойные кольцевые структуры типа B₅O₁₀⁵⁻. Наличие цепочек ($-BO_2-$)⁻ подтверждено также результатами исследования ИК-спектров (область 650—4000 см⁻¹).

А. В. Бобров

x-1980.№

Sr₃B₂O₆

1980

2 В2. Структура Sr₃B₂O₆. Richter L., Müller F. Гранz. Zur Struktur von Sr₃B₂O₆. «Z. anorg. und allg. Chem.», 1980, 467, № 8, 123—125 (нем.; рез. англ.)

*Кристал.
структур*

Медленным нагреванием смеси SrCO₃ и B₂O₃, взятой в мол. отношении 3 : 1 до 1000°, а затем до 1520° получен поликрист. Sr₃B₂O₆ (I). Рентгенографич. (метод порошка) установлена принадлежность I к гексагон. сингонии с параметрами решетки a 899,9, c 1248,7 pm , ф. гр. R3c, структурный тип Ca₃B₂O₆ (II). Приведены значения I , d , hkl I, а также вычисленные исходя из изоструктурности I с II межатомные расстояния для I Sr—O 245,8—287,4, B—O 143,9 pm . М. Б. Варфоломеев

8. 1981 № 2

$\text{Sr}_0.3\text{B}_2\text{O}_3 \cdot 4\text{H}_2\text{O}(\text{k})$

1982

Erdogar Yunes,
Civelekoglu Halidev,
et al.

1aq G; Chim. acta ture,
1982, 10, N3, 275-286.

($\text{crys. BaSO}_4(\text{k})$; ?)

$\text{Sr}(BD_2)_2(K)$ /отр. 26986/ 1986

Касенов Б.К., Абисеев А.И.,

"ФРС"

$\Delta_f H$,

оценки Вестник АН Казахской ССР,
1986, №3, 33-39.

$S_2(Bl_2)(\alpha)$ [om. 23458] 1986

Касемов Б.К., Абисов Д.Н.

УГР.,

ΔfH ,
оценки Вестн. АН Каз. ССР,
1986, № 3, 33-39.

SrBO_2
 $\text{Sr}(\text{BO}_2)_2$

011 30368

1987

7 Б3023. Масс-спектрометрическое изучение испарения системы $\text{SrO}-\text{B}_2\text{O}_3$. Mass spectrometric study of vaporization in the $\text{SrO}-\text{B}_2\text{O}_3$ system / Kou Tomoyuki, Asano Mitsuru // High Temp. Sci.— 1987.— 24, № 1.— С. 1—19.— Англ.

С помощью масс-спектрометра, оборудованного Pt-эффузионной ячейкой Кнудсена, в интервале т-р 1281—1572 К измерены парц. давл. пара компонентов над системами $2\text{SrO}-\text{B}_2\text{O}_3$ (1), $\text{SrO}-\text{B}_2\text{O}_3$ (2) и $\text{SrO}-2\text{B}_2\text{O}_3$ (3). Во всех случаях в газовой фазе зарегистрированы Sr , SrBO_2 , BO , B_2O_2 и B_2O_5 . Не обнаружено молекул $\text{Sr}(\text{BO}_2)_2$. Парц. давл. Sr наибольшее над (1), парц. давл. остальных молекул возрастают от (1) к (3). Приведены выражения $\lg p(\text{Па}) = A + B/T$ для всех компонентов над каждой из систем. По 3-му закону термодинамики рассчитаны $\Delta_rH_{298}^0$: $465,3 \pm 0,7$ и $516,0 \pm 9,7$ кДж/моль, — для газофазных р-ций $\text{B}_2\text{O}_2 = 2\text{BO}$ и $\text{SrBO}_2 = \text{Sr} + \text{BO}_2$, соотв. С привлечением лит.

X.1989, № 7

(1)
✓

BeBO_2 (80)

данных вычислена величина — $\Delta_f H_{298}^0$ (SrBO_2 , г) =
= $636,5 \pm 10,9$ кДж/моль. Из сопоставления энергий
разрыва связей в метаборатах щел. и щел-зем. метал-
лов оценена $D_{1500}^0(\text{BeBO}_2)$ = 551 кДж/моль. Приведена
сводка лит. данных по энталпиям образования мета-
боратов в газовой фазе. Ю. С. Ходеев



$SrB0_2(2)$ (DA. 30368)

1987

Kou T., Asano M.,

$\delta^{18}Hf_{238}$, High Temp. Sci.,
 $\delta^{18}D_{238}(H-BB)$ 1987, 24, N1, 1-19.
Mass spectrometric study
of vaporization in the

IrO-Ba₂O₃ system.

Cicnerua

DM 35425

1987

DrD-Balz

Tomoyuki Lou, Mitsuru
Asano,

Успехи

(научно-техническое обозрение)

High Temperature Science,
1987, 24, 1-19

Fr.BD₂(2)

[Ch. 35425]

[1987]

Tomoyuki Kou, Mitsuru Ma
no,

D_fH⁰₂₉₈, High Temperature Science, 1987,
D⁰₂₉₈ 24, 1-19.

$\text{SrB}_2\text{O}_4(2)$

1988

110: 122596j Thermochemical properties of strontium borates, $\text{SrBO}_2(\text{g})$ and $\text{SrB}_2\text{O}_4(\text{s})$. Asano, Mitsuru; Kou, Tomoyuki (Inst. At. Energy, Kyoto Univ., Uji, Japan 611). *J. Chem. Thermodyn.*, 1988, 20(10), 1149-56 (Eng). Knudsen-effusion mass spectrometry was used to study the vaporization behavior of $\text{SrB}_2\text{O}_4(\text{s or l})$ in the temp. range 1310-1442 K. Vapors of $\text{Sr}(\text{g})$, $\text{SrBO}_2(\text{g})$, $\text{BO}(\text{g})$, $\text{B}_2\text{O}_2(\text{g})$, and $\text{B}_2\text{O}_3(\text{g})$ were identified. On the basis of their partial pressures, the molar enthalpies of formation and dissocn. for $\text{SrBO}_2(\text{g})$ were detd. The molar enthalpies of formation for $\text{SrB}_2\text{O}_4(\text{s})$ were detd. from elements and constituent oxides.

(SfH, m.x.)

Mass spectra

Krungers



C.A. 1989, 110, N 14

1988

SrBO₂(2)

- 15 Б3050. Термодинамические свойства SrBO₂(g) и SrB₂O₄(s). Thermochemical properties of SrBO₂(g) and SrB₂O₄(s) / Asano M., Kou T. // J. Chem. Thermodyn.—1988.— 20, № 10.— С. 1149—1156.— Англ.

С помощью масс-спектрометра, оборудованного Pt эфузионной ячейкой Кнудсена, в интервале т-р 1310—1442 К исследованы процессы сублимации и испарения SrB₂O₄. В паре зарегистрированы Sr, SrBO₂, BO, B₂O₂ и B₂O₃. Зависимости парц. давл. от т-ры представлены в виде $\lg P(\text{Па}) = A - B/T$. Коэф. A и B составили: $17,44 \pm 1,05$ и $32\ 300 \pm 14\ 800$ для Sr; $18,18 \pm 0,38$ и 30800 ± 530 для SrBO₂; $12,22 \pm 0,26$ и 21210 ± 350 для BO; $16,48 \pm 0,27$ и 32780 ± 380 для BO₂; $11,97 \pm 0,35$ и 19340 ± 490 для B₂O₂, $16,03 \pm 0,20$ и 25310 ± 280 для B₂O₃. Пересчет ионных токов к давл. проведен с помощью Ag, использованного в кач-ве стандарта. Для газофазной р-ции $B_2O_2 = 2 BO$ по 3-му з-ну получено значение $\Delta_f H_{298}^\circ = 465,3 \pm 9,7$ кДж/моль. Для газофазной р-ции $SrBO_2 = Sr + BO_2$ по 2-му и 3-му з-нам найдено

$\Delta_f H_f$

⊗(41)

Х. 1989, N 15

SrB₂O₄(k) (термо. сб-тай)

$\Delta_f H_{298}^\circ$: 575 ± 31 и 516 ± 17 кДж/моль, соотв. Предпочтение отдано величине 516 ± 17 кДж/моль, к-рая приводит к $\Delta_f H^\circ$ (SrBO_2 , g, 298) = -636 ± 19 кДж/моль. Термодинамич. ф-ции $\text{SrBO}_2(g)$ рассчитаны, исходя из след. параметров: расстояния Sr—O, O—B и B=O составляют 0,192, 0,136 и 0,120 нм, угол Sr—O—B 90° , фрагмент O—B=O линейный, частоты 1951, 1080, 582, 577, 490, и 150 см^{-1} . По 3-му з-ну вычислена $\Delta_f H_{298}^\circ$ для р-ции $\text{SrB}_2\text{O}_4(s) = \text{SrBO}_2(g) + \text{BO}_2(g)$ 1096 ± 20 кДм/моль. С привлечением лит. данных получены $\Delta_f H^\circ$ (SrB_2O_4 , s, 298) из элементов и из оксидов соотв.: -2017 ± 29 и -153 ± 29 кДж/моль.

Ю. С. Ходеев

нам
чий:

Система
 $\text{SrO} - \text{B}_2\text{O}_3$ 1988

7 Б3014. Функции свободной энергии соединений в системе $\text{SrO}-\text{B}_2\text{O}_3$ / Asano Mitsugu, Kou Tomoyuki // Кето дайгаку гэнси энэргути кэнкюдзе ихо=Bull. Inst. Atom. Energy, Kyoto Univ.— 1988.— 74.— С. 55.— Яп.

Х. 1989, № 7

$3\text{SrO} \cdot \text{B}_2\text{O}_3$ 1988

ugp Asano Mitsuru, Kou
Tomoyuki.

Kemo gairaku 294eu 2H2-
pyre KENKOGZE uao-Bull.

A+H Inst. Atom. Energy. Kyoto
Univ. 1988. 74. C. 56.

(cel. $3\text{BeO} \cdot \text{B}_2\text{O}_3$ ugp.; Γ)

SrBa₂Dy(κ) [om. 30758]

1988

Asano et al., Kou T.,

memoxen 9. Chem. Thermodyn.
88-89 1988, 20, 1149-1156.

SrBO_2

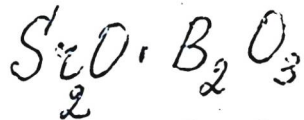
1990

114: 160885d Thermochemical properties of strontium silicate (SrSiO(g)) and strontium borate ($\text{SrBO}_2(\text{g})$). Asano, Mitsuru; Kou, Tetsuyuki (Inst. At. Energy, Kyoto Univ., Uji, Japan 611). *J. Chem. Thermodyn.*, 1990, 22(12), 1223-30 (Eng). The vaporization behavior of strontium borosilicate glass melt with a compn. of $\text{SrO} \cdot \text{B}_2\text{O}_3 \cdot \text{SiO}_2$ was studied by a mass-spectrometric Knudsen-efusion method at 1337 to 1602 K. Vapors of Si(g) , SrSiO(g) , $\text{SrBO}_2(\text{g})$, BO(g) , BeO(g) , $\text{B}_2\text{O}_3(\text{g})$, and SiO(g) were identified. From the gaseous equil. involving SrSiO(g) and $\text{SrBO}_2(\text{g})$, their molar heats of formation and dissoen. were detd.

t_0 , ΔH_f

(7) SrSiO

C.A. 1991, 114, N12



1990

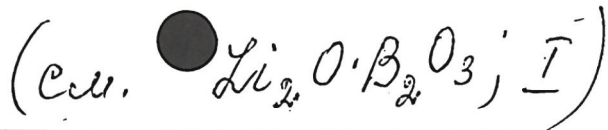


Vedishcheva N. M.,

Shakhmatkin B. A.

et al.

Nepmuc. J. Therm. Anal. 1990: 36,
Citation. N 6. C. 2055-2059.



SrB₂O₄

1991

23 Б2072. Кристаллическая структура фазы высокого давления SrB₂O₄ (IV). Crystal structure of high pressure SrB₂O₄(IV) / Ross N. L., Angel R. J. // J. Solid State Chem.— 1991.— 90, № 1.— С. 27—30.— Англ.

Методом РСТА (24° С, λMo, 245 ненулевых отражений, R 0,036, R_w 0,021) изучено строение кубич. SrB₂O₄ (I), образующегося из SrCO₃ в контейнере из BN при 1260° С/5,0 гПа. Для I a 9,2123 Å, Z 12, ρ (выч.) 4,41, ф. гр. $P\bar{a}\bar{3}$, СТ CaB₂O₄. Структура состоит из трехмерной сетки, образованной тетраэдрами BO₄, связанными общими вершинами (В—О среднее 1,489 Å). Независимые атомы Sr расположены в пустотах каркаса (Sr—O среднее 2,832 и 2,713 Å). М. Б. Варфоломеев

*Кристал-
структур*

X·1991, № 23

Sr_2ByO_7 1992
Ball R.G.J., Bowsher B.R.,
Cordfunke E.H.P. et al.

ΔH_f 12 th IUPAC Conf. Chem.
Thermodyn. [and] Jt Meet.
47th Calorim. Conf., Snow
bird, Utah, 16-21, Aug. 1992,
Program, Absts., and Rept's

S.P. [1992], c. 295.

(See. Cd/I₂; I)

1996

SrB₂O₄

2 Б228. Метаборат стронция, SrB_2O_4 . Strontium metaborate, SrB_2O_4 / Kim J.-B., Lee K.-S., Suh I.-H., Lee J. H., Park J.-R., Shin Y.-H. // Acta crystallogr. C. — 1996. — 52, № 3. — С. 498—500. — Англ.

Бесцветные прозрачные пластинчатые кристаллы SrB_2O_4 получены методом Чохральского из SrCO_3 и B_2O_3 при 473К/20 ч, затем при 1173К/10 ч, и, наконец, после расплавления при 1428К вытягиванием платинового стержня из расплава. Точность определения температуры $\pm 0,3\text{K}$. Проведен РСТА (293К, λMo , 211 рассмотренных отражений, $R = 0,0504$). Параметры ромбической решетки $a = 12,0135$, $b = 4,339$, $c = 6,5864 \text{ \AA}$, $V = 343,3 \text{ \AA}^3$, $Z = 4$, $\rho(\text{выч.}) = 3,35$, $\rho(\text{изм.}) = 3,35$, ф. гр. Pbcn . В структуре атомы Sr окружены додекаэдрически 8 атомами O ($\text{Sr...O} = 2,522$, $2,728 \text{ \AA}$). Межатомные расстояния B—O $1,328$ — $1,395\text{\AA}$, среднее $1,370\text{\AA}$, B—O—B $115,8$ — $126,9^\circ$ со средним значением $120,0^\circ$. Плоские группы BO_3 образуют бесконечные цепочки $(\text{BO}_2)_n^{2n-}$.

Н. Л. Смирнова

X. 1997, № 2

SSD-Bel3

2000

Lopatin, S.I. et al.,

Schr. Forschungszent.

universe Juelich, Reihe Energietechnik
+ Macerexp / Energy Technol. 2000,
Materials Chem. 15 (Part 2), High Temperature
Materials Chem. 15 (Part 2), 483-486

(all. CaO- b_2 O₃; I)

SrBO_2 , SrB_2O_4

2001

(ΔH_f)

F: $\text{SrO-B}_2\text{O}_3$ $\delta_r \text{BO}_2$, $\delta_r \text{B}_2\text{O}_4$ (ΔH_f)

P: 1

02.03-19Б3.62. Термохимическое исследование газообразных солей кислородсодержащих кислот. IX. Метабораты кальция и стронция / Лопатин С. Семенов Г. А., Барановский В. И., Шугуров С. М., Сизов В. В. // Ж. общ. х - 2001. - 71, N 9. - С. 1422-1426. - Рус.

Методом высокотемпературной масс-спектрометрии исследовано парообразование систем $\text{CaO-B}_2\text{O}_3$ и $\text{SrO-B}_2\text{O}_3$. Изучены равновесия с участием газообразных метаборатов кальция и стронция. Для молекул CaB_2O_4 (газ), CaBO_2 (газ) SrB_2O_4 (газ), и SrBO_2 (газ) определены стандартные энталпии образов и атомизации. Библ. 17.

SrB₄O₇

2001

Структура

F: SrB407

P: I =

02.14-19Б2.25. Кристаллическая структура и нелинейные оптические свойства SrB[4]O[7] / Pan Feng, Wang Ru-Ji, Wei Jing-Zhi, Shen Guang-Qiu, Wang Xiao-Qing, Shen De-Zhong // Gaodeng xuehao huaxun xuebao = Chem. J. Chin Univ. - 2001. - 22, N 10, прил. - С. 154-158. - Кит.; рез. Англ.

Методом Киропулоса получен SrB[4]O[7] (I). Проведен РСТА (295 К, 1667 2'сигма'-отражений, R 0,0507). Параметры ромбической решетки I: а 1,0724, 0,4447, с 0,42392 Å, FW 242,86, V 20,214, 'ро'(выч.) 3,990, ф. гр. Pmn2[1 2. Проведено сопоставление структуры I с установленной в 1964, 1966, 1997 Определены нелинейные оптические свойства I.